

Hodgkin dışı lenfomada lenf bezinde ince igne aspirasyonu örneklerindeki P glikoprotein ekspresyonu

Bahriye PAYZİN*, Melek ÜSTÜN**, Ayhan KILIÇ***, Binnur ÖNAL****, Arzu Avcı**, Dilek SOYSAL***

* Atatürk Eğitim ve Araştırma Hastanesi Hematoloji Kliniği,

** Atatürk Eğitim ve Araştırma Hastanesi Patoloji Laboratuvarı,

*** Atatürk Eğitim ve Araştırma Hastanesi 1. İç Hastalıkları Kliniği, İZMİR

**** SSK Dışkapı Eğitim ve Araştırma Hastanesi Patoloji Laboratuvarı, ANKARA

ÖZET

Histolojik olarak Hodgkin dışı lenfoma (HDL) olduğu ispatlanmış 30 olgunun lenf bezlerinin ince igne aspirasyonu örneklerinde, C-494 antikoru kullanarak immunositokimyasal bir test yöntemiyle, P glikoprotein (Pgp) ekspresyonunu tanıdı ve üçくる kemoterapi sonrasında inceledik. Pgp ekspresyonu tamda; evde I-II'deki iki hastanın birinde, evre III-IV'deki sekiz hastanın üçünde saptandı. Hastalık evresi, B semptomlarının varlığı, tedaviye cevap oranı ve toplam sağkalım süresi, Pgp negatif ve Pgp pozitif hasta grupları arasında anlamlı bir fark göstermedi. Sonuç olarak Pgp ekspresyonunun, olası ilaç direncinin diğer çok etmenli mekanizmalar nedini ile, HDL'da kemoterapiye olan direnci tek başına açıklayamayacağını ileri sürmektedir.

Anahtar Kelimeler: P glikoprotein, immun boyama, ince igne aspirasyonu, lenfoma.

SUMMARY

P glycoprotein expression in fine needle aspiration specimens from lymph nodes of non-hodgkin's lymphoma

We studied P glycoprotein (Pgp) expression by testing fine needle aspiration specimens from lymph nodes with C-494 antibody using an immunocytochemical assay in 30 cases of histologically proven non-Hodgkin's lymphoma (NHL) at diagnosis and after three courses of chemotherapy. Pgp expression was detected in two of eight patients with stage I-II, 10 of 22 patients with stage III-IV at diagnosis and in one of two patients with stage I-II, three of eight patients with stage III-IV after chemotherapy. The stage of disease, the presence of B symptoms, the rate of response to treatment and duration of overall survival showed no significant difference between the group of Pgp negative patients ad the group of Pgp positive patients. In conclusion we suggest that Pgp expression alone can not explain the treatment of chemotherapy resistance in NHL probably due to multifactorial mechanisms of drug resistance.

Key Words: P glycoprotein, immunostaining, fine needle aspiration, lymphoma.

Kanser tedavisindeki başarısızlığın asıl nedeni tedavide kullanılan kemoterapötik ajanlara karşı direnç gelişmesidir (1-2). Hodgkin dışı lenfoma (HDL), multipl miyelom (MM), akut miyeloid lösemi (AML) gibi hematolojik maligniteler başlangıçta kemoterapiye duyarlı olsalar da daha sonra nükslerin oluşmasının ardından kemoterapiye dirençli hastalığın gelişmesi ile karakterizedirler (3-6). Kombinasyon kemoterapisi ile HDL tedavisi uygulanın hastaların %50'sinden azı iyileşmektedir. Standart tedaviyi siklofosfamid, doksorubisin, vinkristin ve prednisolonadan oluşan kombinasyon (CHOP) oluşturur. Kullanılan farklı kombinasyonlar ile başlangıçta yüksek cevap oranları elde edilmesine

karşın bu tedaviler CHOP ile karşılaşıldığında toplam sağkalım oranlarında düzelleme görülmemiştir (7). Kök hücre destekli yüksek doz tedavinin kullanılması ile standart tedaviden sonra nüks olan hastaların %35'i kurtarılmıştır ve yüksek doz tedavi sonrası bile hastaların çoğu nüks olmuştur (3,6,8). Son yıllarda genel biyokimyasal ilaç direncinin ilaca karşı gelişen direncin önemli bir mekanizması olarak çoklu ilaç direnci (MDR: multidrug resistance) tanımlanmıştır (5). MDR fenotipi, tümör hücresi dizilerinin yapısal olarak birbiri ile ilişkisi olmayan sitotoksik bileşimlere karşı çapraz direnç göstermesi olarak tanımlanmaktadır (5-6, 8-9). Bu direnç kazanılmış olabilir, yani tümör hücrelerinin

tek ya da birkaç kemoterapötik ajana maruz kalmasından sonra gelişebilir ya da de novo olarak tümör hücreleri bu ajanlara hiç maruz kalmadan da ortaya çıkabilir (5,9). Hematolojik malignitelerde en önemli MDR mekanizmalarından birisi MDR1 geni aracılığı ile olandır. Bu gen 170 kDa ağırlığında, permeabilite glikoproteini (Pgp) denen bir membran geçiş proteinini kodlamaktadır. Bu protein ATP'ye bağımlı bir eflüks pompası gibi hareket ederek antrasiklinler, vinka alkaloidleri ve epipodofilotoksinler gibi doğal ortamdan elde edilen bir bileşigin hücre dışına atılmasını sağlar (1,5-6,9-21). HDL'da MDR1/Pgp ekspresyonunun insidensi ile ilgili birkaç çalışma bildirilmiş ve genellikle klinik gidişi etkilediğine dikkat çekilmiştir (8). Değişik çalışmalarında Pgp ekspresyonunun ilaca duyarlılık ve klinik gidiş ile birelilik gösterdiği bildirilmiştir (3-5-8). Saptanabilen Pgp düzeyleri HDL'ların tüm histolojik tiplerinde bulunmuştur (1,5,13). Pgp tayini için immunolojik ve fonksiyonel yöntemler geliştirilmiştir (22). Literatürda HDL'da Pgp'nin aranması yöntemi ile ilgili çalışmaların çoğu retrospektiftir ve frozen lenf bezi kesitlerinde Pgp'nin immunohistokimyasal olarak araştırılmasında kendisine karşı geliştirilen monoklonal antikorlar kullanılır (13, 23-25, 28). HDL'lada Pgp ekspresyonunun varlığı da novo olarak tedavi öncesinde ya da kemoterapi aldıktan sonra tedaviye refrakter veya nüks olan hastalarda yapılan çeşitli çalışmalarla gösterilmiştir (1,3, 5-6, 11, 16, 20, 25). Bu çalışmada histolojik olarak HDL tanısı almış hastaların lenf bezi ince iğne aspirasyonu (IIA) ile elde edilen materyellerde immun boyama ile tümoral membran Pgp varlığını inceledik. Bu işlemi kemoterapi uygulanan hastalarda 3 kürlük tedavi uygulaması sonrasında tekrarlayarak Pgp pozitifliği ile evre, B semptomları, histolojik tanı, tedaviye cevap oranı, sağkalım süresi arasındaki ilişkiyi araştırdık.

GEREÇ VE YÖNTEM

Çalışmaya Aralık 1998 ile Ekim 2000 tarihleri arasında hastanemize kabul edilen HDL tanılı 30 hasta (erkek: 23, kadın: 7) alındı. Erek/Kadın oranı: 3,3/1, medyan yaş: 52 (16-70) idi. Hastaların çevresel lenfadenopatilerinden IIA ve lenf bezi biyopsileri yapıldı. histolojik tanı lenf bezi biyosilerinin hastanemizin Patoloji laboratuvarında immunohistokimyasal incelemeler dahil olmak üzere değerlendirilmesi ile WHO sınıflaması temel alınarak gerçekleştirildi (26). Lenf bezi IIA, 10 ml enjektörülü Comeco tutucusuna takılan 23-25 gauge iğne kullanılarak yapıldı. Lam-

überine alınan IIA materyeli her hastadan 4'er adet hazırlandı. May Grünwald Giemsa, Papanicoleau, Haemotoxilen Eosin ile boyandı. Monoklonal antikor olarak C-494 (Dako Ca. USA) ile ABC yöntemi kullanılarak Pgp için immun boyama yapıldı. Immun boyama işlemi sonrasıki patolog tarafından eş zamanda değerlendirilen IIA materyallerinde; temiz bir zemin üzerindeki atipik lenfoid hücrelerin 40 yüksek büyütme alanında %5 ve üstü oranındaki boyanmaları pozitif Pgp ekspresyonu olarak yorumlandı. Tüm hastaların rutin kan ve biyokimyasal incelemelri, kemik iliği biyopsileri, toraks ve tüm karın BT incelemelri yapıldı. Klinik evrelendirmesi yapılan, performans statusu ≤ 2, tedavi için uygun böbrek fonksiyonu (serum kreatini < 1.7 mg), karaciğer fonksiyonu (serum total bilüribini < 2 mg), kardiyak fonksiyonu (ejeksiyon fraksiyonu > %35) ve hematopoietik fonksiyonu (nötrofil sayısı < 2x10⁹/L, trombosit sayısı > 100x10⁹/L) olan hastalar 4 kür kemoterapi aldıktan sonra yeniden değerlendirildiler. Çevresel lenf bezi ele gelen hastalardan 3. kür sonrası IIA ve Pgp için immun boyama işlemleri tekrarlandı. kemoterapi rejimi olarak CHOP (siklofosfamid 750 mg/m² 1. gün, doktorubisin 50 mg/m² 1. gün, vinkristin 1,4 mg/m² 1. gün, prednisolon 100 mg 1-5 gün) ya da CHOP- B/ARA-C+VP-16 (siklofosfamid 750 mg/m² 1. gün, doktorubisin 40 mg/m² 1. gün, vinkristin 1,4 mg/m² 1. gün, prednisolon 100 mg 1-5 gün, bleomisin 10 mg/m² ile sitozin-arabinosid 1 gm/m² 1-3 gün, etoposid 120 mg/m² 1,3 gün, 28 günde bir alterne edilerek) uygulandı. Tam cevap: fizik bulguların, radyolojik ve kemik iliği değişikliklerinin kemoterapi sonrası en az 4 hafta süreyle normale dönmesi, kısmi cevap: sözü edilen bulgularda % 50 azalma olması, progresyon: sözü edilen bulgularda artış görülmeye ya da yeni bir bulgunun ortaya çıkması olarak tanımlandı. Tam cevap alınanlara 2 kür, kısmi cevap alınanlara 4 kür kemoterapi verilerek izleme alındı. Progresyon görülen hastalara kurtarma protokollerini başlandı. Pgp pozitif ve Pgp nefatif hastaların sağkalım süreleri, 'SPSS 7,5 for Windows' istatistik programı kullanılarak Kaplan-Meier sağkalım testi ile karşılaştırıldı ve p<0,05 değeri anlamlı olarak kabul edildi.

BULGULAR

Hastaların özellikle, Pgp sonuçları ve tedaviye cevap durumları Tablo 1'de özetlendi. Çalışmaya alınan 30 HDL hastasının histolojik tanıları şöyledi: Diffüz büyük B hücreli tip; 16 hasta (%53), anaplastik büyük

Tablo 1. Hodgkin dışı lenfomalı olguların özellikleri

No	Yaş/ Cins	Evre	Histoloji	LDH U/L	Pgp 1*	Pgp 2**	Tedavi protokolu	Tedaviye Cevap***
1	40/K	2A	Lenfobl.	N	(-)	(-)	CHOP	Tam
2	45/E	4B	DBH	>N	(-)	yapılmadı	CHOP	Eksitus
3	57/K	4B	DBH	>N	(-)	başarısız	CHOP	Kısmi
4	65/E	2B	DBH	>N	(-)	(+)	CHOP	Progresyon
5	36/E	4B	DBH	N	(+)	başarısız	CHOP	Tam
6	68/E	2B	DBH	>N	(-)	yapılmadı	COP	Eksitus
7	55/E	4A	DBH	N	(-)	(-)	CHOP-B/ARA-C+VP-16	Tam
8	46/E	4B	PTH	N	(-)	LAP yok	CHOP-B/ARA-C+VP-16	Eksitus
9	70/E	4B	DKH	N	(-)	(-)	COP	Kısmi
10	44/E	3B	ABH	>N	(+)	yapılmadı	CHOP	Izlem dışı
11	47/E	4B	Lenfopl.	>N	(+)	(+)	CHOP	Kısmi
12	17/E	3A	Lenfobl.	>N	(-)	LAP yok	CHOP-B/ARA-C+VP-16	Kısmi
13	62/K	3A	DBH	>N	(-)	yapılmadı	CHOP	Izlem dışı
14	69/K	4B	DBH	>N	(-)	(-)	CHOP	Kısmi
15	23/E	2B	ABH	>N	(+)	yapılmadı	CHOP-B/ARA-C+VP-16	Eksitus
16	44/E	4A	PTH	>N	(+)	başarısız	CHOP-B/ARA-C+VP-16	Kısmi
17	18/E	3B	ABH	>N	(+)	(+)	CHOP-B/ARA-C+VP-16	Kısmi
18	62/E	3A	DBH	>N	(+)	(+)	CHOP-B/ARA-C+VP-16	Tam
19	51/K	4B	DKH	N	(+)	(-)	CHOP	Kısmi
20	49/E	4B	DBH.	>N	(+)	başarısız	CHOP-B/ARA-C+VP-16	Kısmi
21	41/E	4A	DBH.	>N	(-)	başarısız	CHOP	Kısmi
22	53/E	4B	ABH.	>N	(+)	(-)	CHOP-B/ARA-C+VP-16	Kısmi
23	56/K	4B	ABBH	>N	(-)	başarısız	CHOP-B/ARA-C+VP-16	Progresyon
24	62/K	4B	DBH	>N	(-)	başarısız	CHOP-B/ARA-C+VP-16	Tam
25	36/E	2A	ABH	N	(-)	başarısız	CHOP-B/ARA-C+VP-16	Tam
26	16/E	4B	Lenfobl.	>N	(-)	başarısız	CHOP	Tam
27	66/E	1B	DBH	>N	(-)	LAP yok	COP	Izlem dışı
28	53/E	2B	DBH	>N	(+)	LAP yok	CHOP-B/ARA-C+VP-16	Izlem dışı
29	66/E	4B	DBH.	>N	(+)	LAP yok	COP	Izlem dışı
30	63/E	2A	DBH	>N	(-)	LAP yok	CHOP	Izlem dışı

Lenfobl.: Lenfoblastik, DBH: Diffüz büyük B hücreli, PTH: Periferal T hücreli, ABH: Anaplastik büyük hücreli, DKH: Diffüz küçük hücreli, Lenfopl.: Lenfoplazmositoid, ABBH: Anaplastik büyük B hücreli. COP: Siklofosfamid, vinkristin, prednisolon. CHOP: Siklofosfamid, doktorubisin, vinkristin, prednisolon CHOP-B/ARA-C+VP-16: Siklofosfamid, doktorubisin, vinkristin, prednisolon-bleomisin/sitosin arabinosid+etoposid, *:Tanı sırasında, **:3 kür kemoterapiden sonra, ***:4 kür kemoterapiden sonra.

hücreli tip; 6 hasta (%20), lenfoblastik tip; 3 hasta (%10), periferik T hücreli ve diffüz küçük hücreli 2'şer hasta (%7) ve lenfoplazmositoid tip; 1 hasta (%3). B semptomları 21 hastada (%70) bulunurken ileri evrede (evre III ve IV) 22 hasta (%73) bulunmaktadır. serum laktik dehidrogenaz düzeyi 22 hastada (%73) normal değerin üstündeydi. Tanı sırasında Pgp pozitifliği 12 (%40) hastada saptanırken, 3 kür kemoterapi sonrasında II A başarılı olan 10 hastanın 4'ünde (%25) Pgp pozitif idi (Tablo 2). II A başarısız olan 9 hasta dışında ele gelen lenf bezinin olmayan 4 hastaya ve çeşitli nedenlerle 5 hastaya II A işlemi yapılmadı. Tedaviden önce Pgp immun boyama sonucu elde edebildiğimiz 30 hastaya karşılık, kemoterapi sonrası II A yapılabilen 19 hastanın 9'unda lenfadenopatinin küçük olması ya da fibrozis gelişmesi nedenleri ile

Tablo 2. Kemoterapi öncesi ve sonrası Pgp değerlendirmesi

	Pgp+ (tanıda)	Pgp+ (3 kür KT sonu)
Erken evre	2/8 (%25)	1/2
İleri evre	10/22 (%83)	3/8 (%37)
B semptomları	10/12 (%45)	3/7 (%42)

materyel elde edilemedi. Çevresel lenf bezinin ele gelmemesi (6 hasta), izlem dışı kalma (2 hasta) ya da eksitus olma (3 hasta) nedenleri ile hastaların 10'unda II A yapılamadı. Dört kür kemoterapi uygulanmasından sonra 7 hastada (%22) tam düzeltme, 10 hastada (%33) kısmi düzeltme olmak üzere 17 hastada (%56) tedaviye cevap alınırken 2 hastada (%7) progresyon görüldü. Dört hasta (%13) ilk 4 kür kemoterapi tamamlanmadan kaybedilirken 6

hasta (%20) 4 kür tedavi sonlanmadan izlem dışı kaldı. Evreye göre yaptığımız Pgp ekspresyonu değerlendirmesinde: erken evredeki 8 hastanın 2'sinde, ileri evredeki 22 hastanın 10'unda pozitif sonuç elde ettik. Erken evredeki 6 hastada, ileri evredeki 12 hastada tedavi öncesinde Pgp negatif bulundu. Kemoterapi sonrası değerlendirilebilen 10 hastada erken evredeki 2 hastanın birinde, ileri evredeki 8 hastanın ise 3'ünde Pgp pozitif bulunurken, Pgp negatif olan 6 hastanın biri erken evrede idi. Hasta grubumuzun B semptomları göz önüne alındığında tedavi öncesi Pgp pozitif 12 hastanın 10'unda, Pgp negatif 18 hastanın 11'inde B semptomu saptandı. Kemoterapi sonrasında ise değerlendirilebilen ve B semptomu olan 7 hastanın 3'ünde, B semptomu olmayan 3 hastanın birinde Pgp pozitifti (Tablo 3). Hastaların çoğu (%53) diffüz büyük B hücreli HDLtanısı aldığı için histolojik tanı ve

Pgp pozitifliği arasında kıyaslamaya gidilmedi. İzlenen 24 hastanın medyan sağkalım süresi 21 ay bulundu. Tedavi öncesi Pgp negatif bulunan 15 hasta ile Pgp pozitif bulunan 9 hastanın toplam sağkalım süreleri arasında anlamlı bir fark bulunmadı (sırasıyla medyan 21 ve 17 ay, p=0.89) (Şekil 1).

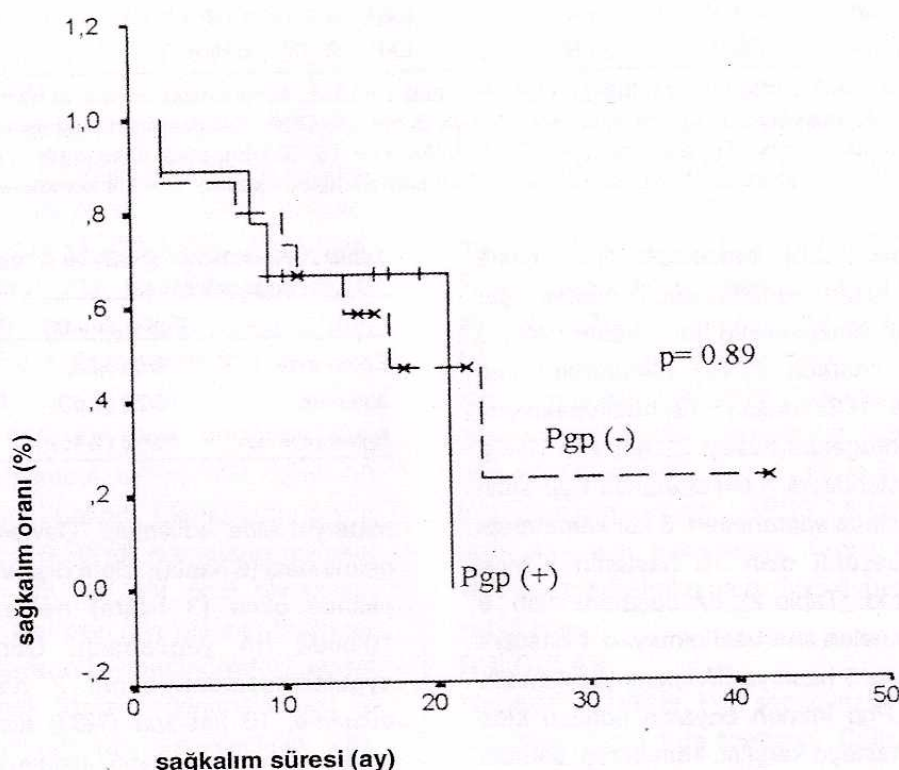
TARTIŞMA

Bu çalışmada 30 NHL hastasının çevresel lenf bezlerinden elde edilen II A örneklerinde kemoterapi uygulmadan önce ve 3 kür kemoterapi uygulandıktan sonra Pgp ekspresyonu araştırıldı. Hematolojik maligniteleri olan hastalardan elde edilen izole neoplastik hücrelerde ve birbirleri ile ilişkili olmayan çok sayıda sitotoksik ajana dirençli birçok hücre dizisinde MDR incelenmiştir. İnsanda kansere karşı gelişen ilaç direncinin başlıca mekanizmasının MDR 1 geni tarafından kodlanan Pgp'nin aşırı ekspresyonu olduğu düşünülür (21). Pgp yalnızca neoplastik

Tablo 3. Tanıda Pgp pozitifliği ile, evre, B semptomu, tedavi cevabı ilişkisi

	Pgp pozitif hasta	Pgp negatif hasta	p değeri
B semptomları	%83 (10/12)	%60 (11/18)	0.3
İleri evre	%83 (10/12)	%66 (12/18)	0.5
Tedavi cevabı	%66	%55	0.8

p değeri < 0.05 anlamlı



hücrelerde değil, aynı zamanda X gastrointestinal kanal, safra kanalları, sürrenal bez, böbrek proksimal tüpleri, pankreasın küçük kanallarının sekreter hücrelerine ek olarak santral sinir sistemi ve testisin endotel hücreleri tarafından eksprese edilir ve bu konumun Pgp'nin, metabolitlerin taşınması ya da toksinlerin hücre dışına salgılanması ile ilgisi olduğunu düşündürmektedir (9-10, 13, 27). Pgp gen ürününde veya mRNA düzeyinde MDR pozitif fenotipin saptanmasında farklı yöntemler kullanılır (21). Bazı çalışmalarda moleküler yöntemler (Northern blot, dot blot, RT-PCR gibi) kullanılmakla birlikte bunlar pahalı, zaman alıcıdır. Dahası lenf bezi materyelleri ve dolaşan malign hücreler için sonuçların anlamı MDR 1 eksprese eden normal hücrelerin varlığı tarafından güçleştirilebilir (1,3,13,20). Immunohistokimyasal olarak MDR spesifik antikorlar kullanılarak normal ve tümoral dokuda Pgp dağılımının incelenmesi yaygın olarak kullanılmaktadır (13,20). Teorik olarak immunohistokimyasal inceleme morfolojik analizin ve Pgp varlığının saptanması ile birarada yapılama olanağı sağlar (20). Ancak, HDL'da bu yöntemle Pgp araştırması yapıldığı zaman hasta popülasyonu ve histolojik profil ile açıklanamayan bazı birbiriyile uyumsuz sonuçlar elde edilebilmektedir (20). Biz, tedavi öncesi değerlendirdiğimiz 30 hastadan 12'sinde (%40), 3 kür kemoterapi sonrası değerlendirilebilen 10 hastanın 4'ünde (%25) Pgp pozitifliği saptadık. Pgp ekspresyonunun heterogenitesinin klinik çalışmaları yorumlamayı güçlendirdiği savunulmaktadır (13). Miller ve arkadaşları C219 ve JSB1 monoklonal antikor kullanarak immunohistokimyasal teknikle yeni tanı HDL hastalarının yalnızca %2'sinde Pgp pozitifliği bulmuşken benzer yöntemi kullanan Niehans ve arkadaşları daha önceden tedavi görmemiş HDL hastalarının %50'sinde Pgp ekspresyonu bildirdi (20). Yine Miler, önceden tedavi görmüş HDL hastalarının %64'ünde Pgp pozitifliği bulmuşken, Attal ve arkadaşları tedavi almış ve nüks olmuş 15 hastanın hiçbirinde Pgp ekspresyonu saptayamadıklarını yayılmışlardır (20). Son olarak sözü edilen araştırmacı relaps HDL'da pozitif Pgp saptayamışlarına materyelin işleme tabi tutulması sırasında hücrelerdeki yüksek orandaki Pgp ekspresyonunun korunduğu, ancak Pgp'in immunoreaktivliğinin işlem sırasında değişebilmesi nedeni ile düşük Pgp eksprese eden lenfoma hücrelerindeki sinyalin söndüğü açıklamasını getirdi (20). HDL'de tedavi görmemiş hastalarda immun boyama ile

örneklerin %0-4 ile %46 arasında değişen oranlarda Pgp ekspresyonu bildirildi ve sonuçlardaki farklılıklara çalışılan örneğin Pgp için pozitif olarak değerlendirilmesindeki değişik eşik değerlerin neden olduğu belirtildi (5). Kaynakların incelenmesinde immunohistokimya yönteminde reaksiyonların semikantitatif olarak sınıflandırılarak zayıf, orta ve kuvvetli olarak derecelendirildiği gözlandı (20). Boyanan hücrelerin oranının %10'un üstünde olmasını pozitif olarak değerlendirenler olduğu gibi 20 yüksek büyütme alanındaki malign hücrelerin %5'inden fazlasının boyaya olmasını, hatta iki otör tarafından değerlendirildiğinde %1 malign hücrenin boyamasını Pgp pozitifliği olarak kabul eden yayınlar bulunmaktadır (20, 25, 28). Biz çalışmamızda II A materyallerinde immun boyama işlemi sonrası temiz bir zemin üzerindeki atipik lenfoid hücrelerin 40 yüksek büyütme alanında %5 ve üstü oranındaki boyamalarını pozitif Pgp ekspresyonu olarak kabul ettik. Normal lenfositler MDR ile birlikteliği olan bir işlev sahiptir (21). HDL'da Pgp ekspresyonunun tedaviye direncin tahmin edilmesine yol açan kötü bir prognostik gösterge olduğu belirtilmektedir (2). HDL genelde kemoterapiye duyarlıdır ancak sıklıkla nüks sırasında dirençli olur ve MDR1 ekspresyonunun klinik durumla ve ilaç duyarlılığı ile korelasyon gösterdiği, ayrıca prognostik değeri olduğunu gösteren çalışmalar vardır (1,3). Pgp negatif 35 hastanın 23'ü (%66) ile karşılaşıldığında Pgp pozitif 24 hastanın 6'sında (%24) tedaviye cevap alındığını belirten Pileri ve arkadaşları HDL'da Pgp ekspresyonu ve tedaviye cevap arasında anlamlı bir korelasyon buldular (29). Benzer olarak Dan ve arkadaşları az sayıdaki Pgp pozitif hastanın (4 hasta) hiçbirinden tedaviye cevap almadı, ancak Pgp negatifliği gösteren 12 hastanın 7'sinde (%58) cevap elde etti (30). bizim çalışmamızda 3 kür kemoterapisi tamamlanan toplam 22 hasta dikkate alındığında başlangıçta Pgp negatif olan 12 hastanın 10'unda üç kür kemoterapi sonrası cevap alınırken Pgp pozitif olan 10 hastanın 7'sinde cevap alındı (%60 ve %90). Bir hastada tedavi öncesi negatif bulunan Pgp, kemoterapi sonrası pozitif bulundu. Bir hastada ise başlangıçta pozitif olan Pgp tedavi sonrası negatif idi. Bu son sonucun olası nedeni olarak düşük hücre popülasyonu veya uygulanan işleme bağlı olarak zayıf Pgp ekspresyonunun değerlendirilememesi olabileceği düşündür. Rodriguez ve arkadaşları HDL'da histojik derecenin, hastalık evresinin Pgp ekspresyonunu ya da

ekspresyonun düzeyini anlamlı olarak değiştirmediğini, ayrıca tedavi edilmemiş ve tedavi görmüş hastalar arasında da anlamlı bir fark olmadığını (tanida %44, nükste %38), Goldstein ve arkadaşları kemoterapi sonrası MDR1 RNA'da artış olduğunu, Moscow ve arkadaşları MDR RNA düzeyi ile klinik durum arasında belirgin bir ilişki olmadığını bildirdiler (1). Bunların dışında yapılan iki çalışma ile cevap ve Pgp ekspresyonu arasında korelasyon olmadığı yayınladı (5). Miller ve arkadaşları Pgp ekspresyonu ile sağkalım arasında anlamlı korelasyon buldular (31). Yuen ve Sicik tarafından ise lenfoma'da MDR ekspresyonunun tedaviye cevap üzerine etkisinin açık olmadığı vurgulandı (24). Çalışmamızda, Pgp'nin pozitif ya da negatif olmasının sağkalım üzerinde anlamlı bir etkisi yoktu ($p=0.89$). Wilson ve arkadaşları dirençli ve nüks HDL hastalarında kemoterapi ile birlikte bir MDR1 gen

inhibitörü olan dexverapamili kullanarak 41 hastanın 5'inde (%12) cevap aldılar (16). Yeni bir MDR1 gen inhibitörü olan Valspodar eklenerken kemoterapi uygulanan nüks yada dirençli 23 HDL hastasının 11 inde cevap alındığı da bildirildi (32).

Klinisyenler için kemoterapiye dirençli HDL hastalarının tedavileri major bir tedavi sorunudur. HDL'da MDR1 geninin kodladığı Pgp'nin fazla ekspresyonu klinikte görülen direnci ek başına açıklayamaz. Ayrıca Pgp ekspresyonunun, diğer birçok faktörün rol aldığı diğer ilaç direnç mekanizmaları ile heterojen histolojik tip ve tedavilerin söz konusu olduğu HDL'da tüm klinik durumlardan sorumlu tutulamayacağını düşünmektedir. Pgp ekspresyonundan başka diğer ilaç mekanizmaları da HDL deki ilaç direncinde rol oynayabilir. Dirençli ve nüks olan hastaların tedavisinde Pgp inhibitörlerinin kullanılması tedavi cevabını artıracı etki gösterebilir.

KAYNAKLAR

- Rodriguez C, Commes T, Robert J, Rossi J-F. Expression of P-glycoprotein and anionic glutathione S-transferase genes in non-Hodgkin's lymphoma. Leukemia Res 1993;17:149-56.
- Burger H, Nooter K, Sonneveld P, van Wingerden KE, Zaman GJR, Stater G. High expression of the multidrug resistance-associated protein (MRP) in chronic and prolymphocytic leukaemia. Br J Haemat 1994;88:348-56.
- Marie JP, Zhou DC, Gurbuxani S, Legrand O, Zittoun R. MDR1/P-glycoprotein in haematological neoplasms. Eur J Cancer 1996;32A:1034-8.
- Kaye Stanley B. Clinical drug resistance: The role of factors other than p:glycoprotein. Am J Med 1995;99(suppl 6a):40-4.
- Covelli A. Modulation of multidrug resistance (MDR) in hematological malignancies. Ann Oncol 1999;10:53-9.
- Dalton WS, Grogan TM, Meltzer PS, Scheper RJ, Durie BGM, Taylor CW et al. Drug resistance in multiple myeloma and non-Hodgkin's lymphoma. Detection of P-glycoprotein and potential circumvention by addition of verapamil to chemotherapy. J Clin Oncol 1989;7:415-24.
- Fisher RI, Gaynor ER, Dahlberg S. Phase III comparison of CHOP vs. n-BACOD vs. ProMACE-CytaBOM vs. MACOP-B in patient with intermediate or high-grade non-Hodgkin lymphoma study. N Engl J Med 1993;328:1002.
- Dalton WS. Alternative (non-p-glycoprotein) mechanisms of drug resistance in non-Hodgkin's lymphoma. Hematol Oncol Clin N Am 1997;11: 975-86.
- Burt RK, Fojo AT, Thorgeirsson SS. Multidrug resistance due to p-glycoprotein. Hospital Practice 1990; 15:67-78.
- Morrow CS, Cowan KH. Mechanisms and clinical significance of multidrug resistance. Oncology 1988;2:55-67.
- Chan H SL, DeBoer G, Thorner PS, Haddad G, Ling V. Multidrug resistance. Clinical opportunities in diagnosis and circumvention. Hematol Oncol Clin N Am 1994;8:383-410.
- Nielsen D, Skovsgaard T: P-glycoprotein as multidrug transporter: a critical review of current multidrug resistance cell lines. Biochim Biophys Acta 1992;1139:169-83.
- Jeffrey A. Moscow, Cowan KH: Multidrug resistance. Cancer Chemotherapy and Biological Response 1990;97:114
- Weinstein RS, Jakate SM, Dominguez JM, Lebovitz MD, Koukoulis GK, Kuszak JR et al. Relationship of the expression of the multidrug resistance gene product (p-glycoprotein) in human colon carcinoma to local tumor aggressiveness and lymph node metastasis. Cancer Res 1991;51:2720-6.
- Izquierdo MA, Shoemaker RH, Flens MJ, Scheffer GL, Wu L, Prather TR et al. Overlapping phenotypes of multidrug resistance among panels of human cancer cell lines. Int. J. Cancer 1996;65:230-7.
- Wilson WH, Bates SE, Fojo A, Bryant G, Zhan Z, Regis J et al. Controlled trial of dexverapamil, a modulator of multidrug resistance, in lymphomas refractory to EPOCH chemotherapy, J Clin Oncol 1995; 13:1995-2004.
- Goldstein LJ, Pastan I, Gottesman MM. Multidrug resistance in human cancer. Crit Rev Oncol Hematol 1992;12(3):243-53.
- Chabner BA, Wilson Wyndham. Reversal of multidrug resistance. J Clin Oncol 1991;19:4-6.
- Weinstein RD, Kuszak JR, Kluskens LF, Coon JS: P-glycoprotein in pathology: The multidrug resistance gene family in humans. Hum Pathol 1990;21:34-48.
- Attal M, Bibeau F, Müller C, Duchayne E, Kuhlein E, Cassar G et al. Optimization of immunohistochemical detection of P-glycoprotein in chronic lymphoid disorders. Am J Clin Pathol 1994;102:842-9.

21. Drenou B, Lamy T, Amiot L, Fardel O, Caulet-Maugendre S, Sasportes M et al. CD3⁺ CD56⁺ non-Hodgkin's lymphomas with an aggressive behavior related to multidrug resistance. *Blood* 1997;89:2966-74.
22. Delville JP, Pradier O, Pauwels O, Van Onderbergen A, Kiss R, Feremans W et al. Comparative study of multidrug resistance evaluated by means of the quantitative immunohistochemical detection of p-glycoprotein and functional release of rhodamine 123. *Am J Hematol* 1995;49:183-93.
23. Chabner B, Bates S, Fojo A, Spolyar M, Wilson W. Drug resistance in adult lymphomas. *Semin Hematol* 1994;31:70-87.
24. Yuen AR, Sicik BL. Multidrug resistance in lymphomas. *J Clin Onc* 1994;12:2453-9.
25. Lee JJ, Hughes CS, Fine RL, Page RL. P-glycoprotein expression in canine lymphoma. *Cancer* 1996;77:1892-8.
26. Jaffe ES, Harris NL, Diebold J. Work Health Organization Classification of Lymphomas: a work in progress. *Ann Oncol* 1998;9(suppl 5):25-30.
27. Egashira M, Kawamata N, Sugitomo K, Kaneko T, Oshimi K. P-glycoprotein expression on normal and abnormally expanded natural killer cells and inhibition of p-glycoprotein function by cyclosporin A and its analogue, PSC833. *Blood* 1999; 93:599-606.
28. Seymour L, Bezwoda WR, Dansey RD. P-glycoprotein immunostaining correlates with Er and with high Ki67 expression but fails to predict anthracycline resistance in patients with advanced breast cancer. *Breast Cancer Research and Treatment* 1995;36:61-9.
29. Pileri SA, Sabattini E, Falini B, Tazzari PL, Gherlinzoni F, Michieli MG, et al. Immunohistochemical detection of the multidrug transport protein P170 in human normal tissues and malignant lymphomas. *Histopathology*. 1991;19(2):131-40.
30. Dan S, Esumi M, Sawada U, Hayashi N, Uchida T, Yamazaki T, et al. Expression of a multidrug-resistance gene in human malignant lymphoma and related disorders. *Leuk Res*. 1991;15(12):1139-43.
31. Miller TP, Grogan TM, Dalton WS. P-glycoprotein expression in malignant lymphoma and reversal of clinical drug resistance with chemotherapy plus high-dose verapamil. *J Clin Oncol* 1991;9:17-24.
32. Yuen AR, Breslin S, Sikic BI, Horning SJ. A phase I/II trial of ONCEP chemotherapy with the multidrug resistance modulator PSC 833 in patients with recurrent or refractory non-Hodgkin's lymphoma. American Society of Clinical Oncology, 34th Annual Meeting, 1998; Abstract 48.